

## Παροράματα ΚΑΝ.ΕΠΕ. 2017

- Σχέση υπολογισμού τέμνουσας  $V_{R,c}$ .

Στο Κεφ. 7, παρ. 7.2.2 Παραμόρφωση διαρροής στοιχείου, η σχέση 3 (Σ.3)

από,

$$V_{R,c} = \max \left[ 180(100\rho_{tot})^{1/3}, 35\sqrt{1 + \sqrt{\frac{0.2}{d}} f_c}^{1/6} \right] \left( 1 + \sqrt{\frac{0.2}{d}} \right) f_c^{1/3} + 0.15 \frac{N}{A_c}$$

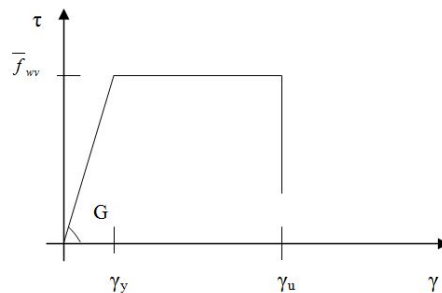
διορθώνεται σε,

$$V_{R,c} = \left\{ \max \left[ 180(100\rho_L)^{1/3}, 35\sqrt{1 + \sqrt{\frac{0.2}{d}} f_c}^{1/6} \right] \left( 1 + \sqrt{\frac{0.2}{d}} \right) f_c^{1/3} + 0.15\sigma_c \right\} b_w d$$

όπου,  $b_w$  το πλάτος της διατομής,  $\rho_L$  το ποσοστό του διαμήκους εφελκόμενου οπλισμού και

$$\sigma_c = \frac{N}{A_c} \leq 0.2f_c$$

- Στον τύπο υπολογισμού της “Τέμνουσας διάσπαρτης αστοχίας κορμού”  $V_{R3}$  Κεφ. 8, παρ. 8.5.4 στ (Σ8.20) ο δεύτερος προσθετέος  $\lambda \cdot f_{yd}$  διορθώνεται σε  $\lambda \cdot \rho \cdot f_{yd}$
- Κεφ.7, σχόλια παρ. 7.4.1 ζ.1)



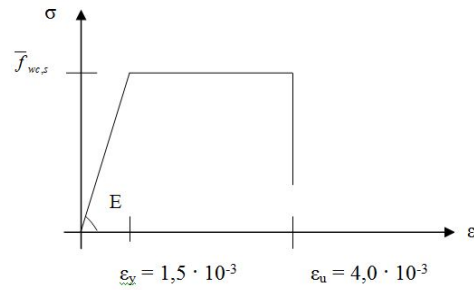
Διάγραμμα διατμητικών τάσεων-γωνιακών παραμορφώσεων άοπλης τοιχοπλήρωσης,

$$\text{με } \gamma_y = \left( \frac{1}{h} + \frac{h}{l} \right) \cdot 1.5 \cdot 10^{-3} \text{ και}$$

$$\gamma_u = \left( \frac{1}{h} + \frac{h}{l} \right) \cdot 4.0 \cdot 10^{-3}$$

Η επιλογή των τιμών  $\gamma_y$  και  $\gamma_u$  οφείλει να γίνεται κατ'αντιστοιχία προς τις αναγραφόμενες περιοχές τιμών, δηλ. για μικρές  $\gamma_y$  ισχύουν και μικρές  $\gamma_u$  κ.ο.κ.

- Κεφ.7, σχόλια παρ. 7.4.1 ζ.2)



Διάγραμμα τάσεων – παραμορφώσεων ισοδύναμης θλιβόμενης διαγώνιας ράβδου άοπλης τοιχοπλήρωσης.

~~Η επιλογή των τιμών  $\epsilon_x$  και  $\epsilon_u$  οφείλει να γίνεται κατ' αντιστοιχία προς τις αναγραφόμενες περιοχές τιμών, δηλ. για μικρές  $\epsilon_x$  ισχύουν και μικρές  $\epsilon_u$  κ.ο.κ.~~

- Κεφ.6, παρ. 6.1.2.2, στη σχέση (6.8) διορθώνεται η επεξήγηση της  $f_{cd}$  ως εξής:  
 $f_{cd}$ : η τιμή σχεδιασμού της θλιπτικής αντοχής του ~~ασθενέστερου~~ σκυροδέματος.